

KOMPLEKS YAPILARDA ANTEN ANALİZLERİ

Bahattin TURETKEN Fatih USTUNER

TÜBİTAK – UEKAE EMC TEMPEST Test Merkezi, Gebze 41470 KOCAELİ.

Tel:+90-262-648 10 00, Faks:+90-262-648 11 00

e-posta: bahattin@uekae.tubitak.gov.tr

Özet:

Bu çalışmada bir gemi platformunda bulunan yüksek frekans antenleri (HF) arasında oluşan kuplaj ve geminin ana gövdesinin, kulesinin, havuz kısımlarının... vb. anten işma diyagramları üzerine etkisi araştırılmıştır. Çalışma 3 adet HF anteni için, 2-30 MHz frekans aralığında MoM yöntemi kullanılarak yapılmıştır. Geminin izgara modeli, gemi üst yapısında bulunan kule, baca, baca, havuz kısmı, ayrı ayrı veya birlikte oluşturularak değişik konfigürasyonların kuplaj ve işma paternine etkisi araştırılmıştır. Buna ek olarak, yüksek güçlü yayının yapan HF verici antenlerin çevresinde yakın alan işma analizide yapılarak, değerlerin insan sağlığı açısından uluslararası standartlara uygunluğu araştırılmıştır.

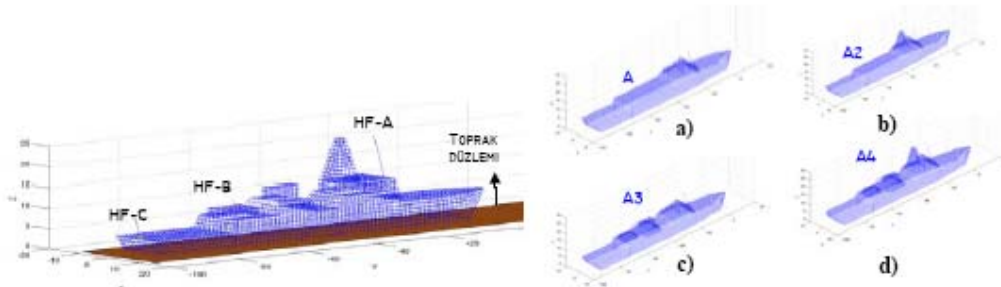
1. Giriş

Son yıllarda, elektrik enerjisini kullanan komponent, cihaz ve alt sistemlerin oluşturukları kompleks platformlarda Elektromanyetik Uyumluluk (EMC) konusu oldukça önem arzettiştir. Bu platformlarda elektromanyetik ortam oldukça yoğun olup, cihazların performanslarını yerine getirmeleri hususunu olumsuz etkilemektedir. Bundan dolayı bu tür platformların EMC açısından incelenip belirli kuralların doğrultusunda oluşturulması zorunlu hale gelmiştir. Elektromanyetik (EM) dalgalanının çeşitli sürekli yüzeylerinde saçılma, işma ve kırılmış problemleri incelenirken, kompleks problemin bilinen kanonik problemlere ayırtılarak çözülmesi yöntemi alışa gelmiş bir yöntemdir. Fakat geometrinin buna imkan vermediği durumlarda değişik sayısal benzetim yöntemleri araştırmacılar tarafından önerilmiştir. Bu yöntemler moment methodu (MoM), sonlu eleman metodu, iletim hattı modelleme methodu... vb gibi olup yaklaşık çözümlere ulaşmamıza yardımcı olmaktadır.

2. Anten Analiz ve Modelleme

Elektromanyetik teoride anten problemleri genelde açık sınırlı (open boundary) problemler sınıfına girer. Bu tip problemlerin çözümünde en etkin sayısal yöntem MoM yöntemidir. Bu yöntem Maxwell denklemlerinin tam dalga çözümünü amaçlar. MoM yöntemi işleyen yapı üzerindeki akımın hesaplanması dayalıdır. Tam dalga çözümü sözkonusu olduğu için bu yöntem teorik olarak tüm frekanslarda anten problemleri için kullanılabilir. Ancak akımların hesaplanması yapının (anten ve bağlı bulunduğu kompleks geometrik yapı) büyütüğü pratikte hesaplama ortamı ve zamanı açısından kısıtlar oluşturmaktadır. MoM yönteminde kompleks yapı tel segmanlarla modellenir ve akım hesaplaması her tel segman üzerinde ayrı ayrı yapılır [1]. Dolayısıyla tel segman adedi büyük ölçüde tel segman adedinin karesiyle orantılı olarak bilgisayar hafiza gereklisini ve hesaplama süresi artmaktadır. Gerçekte yakın simulasyon sonuçları almak için tel segman boyu simulasyonun yapılacağı frekansın dalgalanmanın en fazla onde biri kadar olmak zorundadır. Bu nedenle çok yüksek frekanslarda (örneğin 10 metrelük bir yapı için 1 GHz'in üstü) MoM yönteminin kullanılması pratik olarak mümkün değildir [2-3]. MoM programı izolasyon verisini anten beslemeye segmanlarının admittans parametrelerinden (Y-parametreleri) yola çıkarak vermektedir. Birbirleri arasında izolasyonun bir başka deyişle kuplajın araştırıldığı iki anten iki portlu bir devre olarak düşünülmektedir. İki portlu bir devrede maksimum kuplaj hesabında yüksek frekans transistörlü yükselteç tasarımda kullanılan Linville [4] yönteminden yararlanılmaktadır.

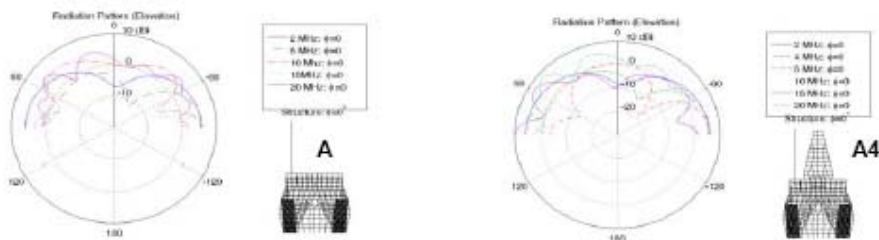
Çalışmada 99m uzunluklarında bir gemi kullanılmış ve üç adet HF (HF-A, HF-B, HF-C) anteni için analizler yapılmıştır (Şekil 1). MoM ile problem 4 ayrı basamakta modellenmiş ve her bir durum için ayrı ayrı analiz yapılmıştır. İlk olarak geminin ana gövdesi 5452 tel segman kullanılarak oluşturulmuştur (Şekil 1a). Sonra, kulenin anten işma paterni üzerindeki etkinisinin araştırılması amacıyla, gemi ana gövdesine kule eklenmiş ve 5765 segmanlık yeni bir kompleks platform elde edilmiştir (Şekil 1b). Daha sonra, orta havuz silah ve mühimmat kısımlarının, özellikle HF-B antenin uzak alan ve yakın alan işması üzerinde etkisini gözlemleyebilmek için, Şekil 1c' deki model oluşturulmuştur. En son olarak da gemi tüm şekliyle 6488 tel segman kullanılarak oluşturulmuş ve anten işma diyagram ve kuplaj verileri analiz yapılmıştır (Şekil 1d).



Şekil 1. Gemi Izgara Modelleri ve HF anten konumları (A: Gemi ana gövdesi A2: Gemi ana gövdesi ve kule A3: Gemi ana gövdesine orta havuzlar A4: Gemi an gövdesi ve bileşenleri)

3. Analiz ve Sonuçlar

Analizler Pentium 4, 3GHz mikro işlemci ve 1 GB RAM i olan bir bilgisayar ile yapılmış, ve her bir antenin tam analizi (işma diyagramı, kuplaj ve yakın alan) yaklaşık 6 saat sürmüştür. HF-A anteninin geminin değişik durumları için ve değişik frekanslardaki işma diyagramları 1 derecelik açılarında alınan değerler yardım ile elde edilmiş ve azimuth /elevation grafikleri ile verilmiştir (Şekil 2-3).

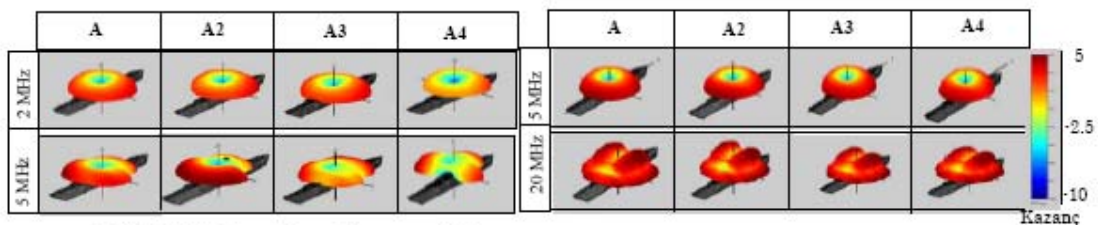


Şekil 2. HF-A anten işma diyagramları (azimuth, değişik frekanslara göre analiz)



Şekil 3. HF-A anten işma diyagramları (elevation, A=case1, A2=case2, A3=case3, A4=case4)

Gemi üst yapısındaki yapıların anten işma diyagramlarına etkisi söyle özetlenebilir. HF-A anteni kuleye yakın olan antendir. 2Mhz'de anten normal (beklenen) işma paternine sahipken, yüksek freksanslarda doğrudan doğruya 5 Mhz de kulemin etkisiyle ana lob merkeze kaymış ve iki adet yan lob oluşmuştur (Şekil 2). Bu tür bir etki HF-B antenin 3D işma diyagramlarında da görülmüştür. Kule gölge etkisini daha belirgin hissedermişdir. Antenin ana lobu arkaya doğru yüksek işmeyi gerçekleştirmiştir. Orta havuz kısımlarının etkisi ile bu ana lob yanlara doğru yönelmiştir (Şekil 4). HF-C antenin bulunduğu konumun , kule ve havuzlara uzaklılığı ve toprak düzlemine olan mesafesi aynı olmadığı için, kulemin ve orta havuzların anten işma diyagramına belirgin etkisi gözlemlenmemiştir (Şekil 5). Antenin toprak düzlemine uzaklılığı işma diyagramını etkileyen bir faktör olduğu gibi, antenin etrafındaki yapıların antenin giriş impedansına etkisini yarar sıra işma diyagramına da etkidi olduğu gözlemlenmiştir.

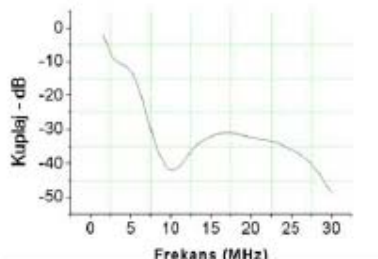


Şekil 4. HF-B Anteni İşuma Diyagramı (3D)

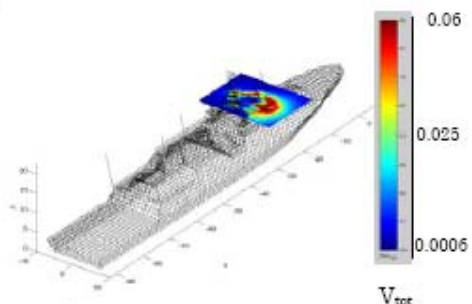
Şekil 5. HF-C Anteni İşuma Diyagramı (3D)

HF-A anteni ile HF-B anteni arasında ham kuplej hesaplanmıştır ve Şekil 6' da verilmiştir. Frekans yükseldikçe Kulenin gölgeleme etkisinden dolayı kuplej azalmaktadır.

Gemi üzerinde konuşlandırılmış verici HF antenlerinin yakın alan işaması incelenmiştir. İnceleme sonucu yakın alan işma eğrileri her bir antenin $10\text{m} \times 10\text{m}^2$ lik düzlemede ve ilgili frekansa bağlı olarak elde edilmiştir. Söz konusu sayısal analizler antenin giriş gerilimi 1V kabul edilerek yapılmıştır. Halbuki gerçek yaşamda antenlerin giriş gerilimi farklıdır. Her bir antenin giriş güçleri hesaba katılarak, elde edilen gerçek yaşamdaki giriş gerilimleri hesaplanabilmektedir. Örneğin HF1 antenin 1.6MHz deki yakın alan işaması grafiğini ele alalım. Bu grafiğin göstergesindeki en yüksek değer 0.06 dir. Gerçek durumda ise bu değeri HF1 için verilen antene verilen gücün 1KW olduğu düşünülsüse 0.06 katsayısını 12268.14 ile çarpmak gerekmektedir. Bu durumda göstergenin maksimum değeri 736.08 V/m olur. Elde edilen bu değer ve göstergenin renkleride göz önünde bulundurarak ilgili bölgedeki alan seviyesi elde edilmiş olur. HF verici antenlerine ilişkin yakın alan eğrileri, antenin bulunduğu konum göz önüne alınarak personelin ulaşabileceği bölgelerde ve yaklaşık bir insan boyunun %60 (bazı durumlarda bir insan boyu veya alan değerinin maksimum olduğu yükseklik/yüksekliğindeki noktalardaki değerleri göstermektedir. Genel olarak yakın alan işma eğrilerine bakıldığında düşük frekanslarda (3MHz'e kadar) antenlerin çok yakınında alan seviyelerinin oldukça yüksek değerlerde olduğu ve antenden uzaklaşıkça bu seviyelerin kabul edilebilir oranda düşüğü, yüksek frekanslarda ise alan seviyelerin antenin dip noktasından uzaklaşıkça hızlı bir düşüş gösterdiği bu düşüşünde limit seviyelerin altında olduğu anlaşılmaktadır.



Şekil 6. HF-A anteni ile HF-B anteni arasında oluşan ham kuplej



Şekil 7. HF-A anteninin yakın alan işuma diyagramı (frekans 1.6MHz, yükseklik 13.5m)

KAYNAKLAR

- [1] SuperNEC GUI Input User Reference Manual v. 2.55
- [2] Turetken B, Üstüner F, Demirel E, Dagdeviren A. "EMI/EMC Analysis of Shipboard HF Antenna By Moment Method", IEEE Symp. MiMET06, sayfa :350-352 June 26-29,2006,
- [3] Dagdeviren A., Çerezci O., Üstüner F, Turetken B. "Mutual Coupling between Monopoles on F-4 Aircraft ant Transition Frequencies: A Comparision between MoM and Mom/UTD Hybrid Method at UHF band ", ACES Journal Vol.21, No:2, sayfa: 111-114, July 2006
- [4] Rubin, D.: "The Linville Method of High Frequency Transistor Amplifier Design", Naval Weapons Center, Research Department, NWCCL TP 845, Corona Laboratories, Corona, California, March 1969.